

نموذج رياضي للجريان الفيضاني في نهر الكبير الشمالي بين سد 16 تشرين وجسر خان عطاالله

الدكتور عز الدين حسن

(قبل للنشر في 1998/5/27)

□ ملخص □

لاتقاء الأخطار الناجمة عن فيضانات الأنهار الكثيرة الحدوث يجب القيام بجهود كبيرة لدراسة سلوك الجريان أثناء الفيضان ضمن المجاري الطبيعية اعتمادا على طرق متطورة بمساعدة الحاسوب بغية الوصول إلي وضع تصور دقيق عن موجات الفيضان المحتملة وظروف مرورها ضمن المجاري المائية ومعرفة حدود الغمر وكميات الجرف المتوقعة ضمن هذه المجاري وبالتالي وضع قاعدة صحيحة لتصحيح هذه المجاري واختيار الحلول الهندسية الناجمة للمحافظة على الممتلكات المنتشرة حولها.

يندرج بحثنا هذا تحت هذا الإطار حيث يقوم على نمذجة متقدمة مبرمجة خاصة بالمجاري المائية ويتوصل إلى نتائج دقيقة لوضع تصور عن حدود الغمر المتوقع حدوثها في المنطقة الواقعة بين سد 16 تشرين وجسر خان عطاالله من مجرى الكبير الشمالي شمال شرق اللاذقية لدى مرور موجة فيضان مئوية قدرها $1500 \text{ م}^3/\text{ثا}$ وأخرى ألفية مقدارها $2700 \text{ م}^3/\text{ثا}$. بينت هذه الدراسة أن معظم المنشآت المتوضعة هناك سيلحقها الضرر مثل مضخات مياه الصفصاف التي ستغمر بالكامل بالموجة الألفية وكذلك معظم الأراضي الزراعية وستحدث جروفات من مرتبة كبيرة لقاع وجوانب المجرى وخصوصا في منطقة جسر طريق عام حلب اللاذقية حيث ستعرض قواعدها لنحر كبير كما أنه ستقترب المياه من قناة الري الرئيسية حيث ستلحقها الأضرار كونها واقعة بالردم.

توفر هذه الدراسة إذا قاعدة متينة لوضع الحلول الهندسية لتصحيح المجرى في هذه المنطقة لمنع الأخطار السابقة وخصوصا بعد التغييرات الكبيرة التي حدثت ضمن المجرى الطبيعي بعد قيام السد. كما تؤكد هذه الدراسة على ضرورة تصحيح المجرى حتى مصبه في البحر المتوسط حيث ستكون الفائدة كبيرة ومتعددة الجوانب لكثرة المنشآت الصناعية والزراعية والخدمية المنتشرة حول مجراه.

Mathematical Model of Flood Flow in Alkibir shimali River between 16 November Dam and kahn Attalah Bridge

Dr. Eng. Izzeddin Hassan

(Accepted 27/5/1998)

□ ABSTRACT □

To avoid the dangers resulting from the repeated floods, great efforts should be made to study the way the flood took place in the natural courses. Relying on advanced methods with the assistance of the computer to reach an appropriate view about the possible flood waves and the conditions of its passage in the courses and the knowledge of the limits of the overflow and the amounts of the possible erosion in the course. As a result, correct basis for the correction of these courses and choose the useful technical solutions to maintain the properties spread in that field and there about.

Our study is comprised in this field. It gives appropriate results and an important try to lay down a view about the limits of the possible overflows in the area between 16 November Dam and kahn At Alla Bridge in the course of Al kabir Al Shimali North-East Lattakia when hundred Flood wave about $1500 \text{ m}^3/\text{s}$ and another millennial flood wave about $2700 \text{ m}^3/\text{s}$ take place. This study showed that the majority of the constructions lying there will be damaged as Al safsaf water pumps, which will be completely overflowed by the the millennial flood wave, and the majority of the agricultural lands. Deep erosion will take place in the bottom and the slopes of the course, especially in the area of the bridges of Aleppo- Lattakia road. Their abutments will suffer from a deep erosion and the water will approach the main irrigation canal which will be also be damaged being comprised of backfiring.

This study, then, gives us a sound basis for working out technical solutions to correct the course in this area to avoid the previous dangers especially after the great changes which took place in the natural river bed after the dam construction. This study also confirms the necessity to correct the course of the river till its mouth in the Mediterranean sea. The profit will be numerous and of great agricultural constructions are lying about values as the industrial and

مقدمة

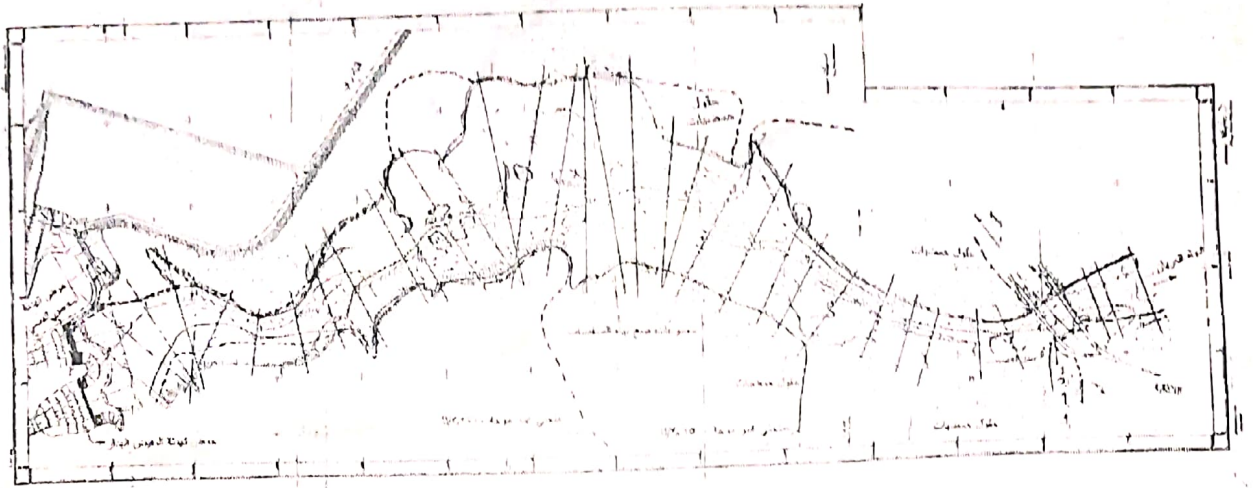
تشكل فيضانات الأنهار هاجساً وخوفاً كبيراً للإنسان منذ أقدم العصور ذلك أن هذه الفيضانات تهدد ممتلكاته وتدمر مدنه الواقعة حول هذه الأنهار لقد حاول الإنسان قديماً السيطرة عليها ببناء السدود والترع والحواسر. لكن لم يكن بمقدوره الإحاطة بجميع مقومات الفيضان الصحيحة من الدراسات الهيدرولوجية اللازمة ودراسة حركة الجريان والعوامل الأخرى المؤثرة عليها، لذلك ظلت محاولاته قاصرة وظل الفيضان يهدد ما بينيه حول الأنهار حتى استطاع في الآونة الأخيرة ومع تطور العلوم التكهن بالفيضان الأعظمي للأنهار ودراسة حركته ضمن المجاري النهرية بشكل عام وظهرت وسائل حديثة لحساب هذا الجريان بدقة كافية. كما لوحظ في العقد الأخير من هذا القرن ازدياد خطر الفيضان في أنهار عديدة في العالم كفيضان نهر الـ (Oder) الذي تقع عليه مدينة فرانكفورت شرقي ألمانيا الفاصل بين ألمانيا وبولونيا في صيف عام 1997 م الذي ألحق أضراراً فادحة ببولونيا وأقل منها في ألمانيا لكون الألمان قد اتخذوا احتياطات سابقة منذ القرن الماضي لاتقاء شر فيضان هذا النهر وأثبتت نجاعتها .

لذلك يتوجب علينا في سورية دراسة أنهارنا بدقة ووضع تصورات قريبة من الواقع عن سلوك هذه الأنهار وخاصة أنهار المنطقة الساحلية التي يمكن أن تستقبل بحسب الموجات المطرية المتوقعة تدفقات عالية تتجاوز التوقعات كما حدث في 1976/5/21م في نهر الكبير الشمالي حيث قدر تدفقه آنذاك بـ $2400 \text{ م}^3/\text{ثا}$ وهذا تدفق كبير جداً لا يستوعبه المجرى النهري في كثير من مواقعه. لذلك يجب أن يدرس مجرى هذا النهر بدقة حتى المصب حرصاً على سلامة الممتلكات العامة والخاصة الحيوية والكثيرة على جانبي المجرى. هذه الدراسة تتيح لنا معرفة منسوب الماء والتدفق في كل موقع من هذا النهر أثناء حصول فيضان لا يستطيع السد استيعابه. وتمكننا بالتالي من رسم ومعرفة حدود الغمر على جوانب المجرى. كخطوة أولى اختير الجزء الأول منه الواقع بين سد 16 تشرين وجسر خان عطا لله (أنظر الشكل (1)) لدراسته بدقة ومعرفة سلوك موجة الفيضان فيه وتقدير الأضرار التي يمكن أن تنجم للمنشآت المتواجدة هناك كجسري طريق حلب اللاذقية ومجموعات ضخ مياه الصفصاف والأراضي الزراعية وكذلك منشآت السد الخاصة كحوضي التهئة وقناة الري. ومن ثم وضع تصور للحلول الهندسية لتنظيم المجرى في هذه المنطقة لتفادي هذه الأضرار باختيار المسار للمجرى ومقطع تنظيم خشونة توفر أماناً لجوانب المجرى وقاعه وسائراً يحمي المنشآت من الغمر مستفيدين من المواد المتوفرة في المكان.

1- دراسة واقع المجرى الحالي

بعد تشييد سد 16 تشرين (أنظر الشكل (1)) حدثت تغيرات كبيرة على المجرى الطبيعي في هذه المنطقة تمثلت في ترحيل جزء كبير من التربة الطبيعية المكونة للمجرى وجرف وترسيب ورمي أكوام كبيرة من المواد الناجمة عن إقامة السد في بعض أجزاء المجرى (المنطقة العليا اليمينية من المجرى الشكل (1)) أضف إلى ذلك اعتداءات المزارعين على حرم النهر الأصلي هذه الإجراءات أدت إلى تغيير كبير في مكونات قاع المجرى وتغيير مساره في هذه المنطقة. قبل الخوض بدراسة الجريان في المجرى خلال موجات الفيضان المتوقعة، تمت دراسة هذه المنطقة طبوغرافياً ووضع مخطط جديد يتضمن جميع هذه التغيرات التي حدثت حيث قامت مديرية الري العامة لحوض الساحل مشكورة بإرسال فريق طبوغرافي أنجز مخططاً حديثاً لهذه المنطقة في نهاية عام 1996 م (أنظر الشكل (1)) . وقمنا بمساعدتهم بإنجاز المقاطع العرضية اللازمة (38 مقطعاً) ومقطعاً طولياً واحداً.

كما تم الاطلاع على الدراسة الجيولوجية للمنطقة المنفذة من قبل الخبراء الذين قاموا بدراسة السد وأنجزوا سبوراً متعددة في المنطقة استطعنا من خلالها إنجاز ثلاثة مقاطع جيولوجية توضح بشكل دقيق جيولوجية وادي النهر حتى الطبقة القاعدية. تلعب البنية الجيولوجية للطبقات العميقة من الوادي دوراً ثانوياً جداً في حساب الجريان في مجرى النهر وما يهمنا هو دراسة لبنية الطبقة السطحية المكونة للقاع لمعرفة خشونة قاع وجوانب المجرى لمعرفة قيمة معامل مانينغ للجريان $(1/n = M)$



شكل (1) مخطط موقع مجرى الكبير الشمالي بين سد 16 تشرين وجسر خان عطاالله

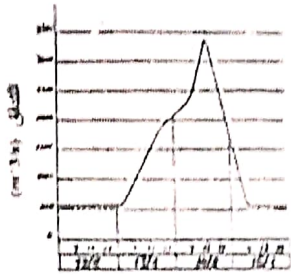


الشكل (2): الحوض الساكب لنهر الكبير الشمالي وتوزع مراكز القياس المناخية والتدفق عليه حسب المذكرة الحسابية لسد 16 تشرين

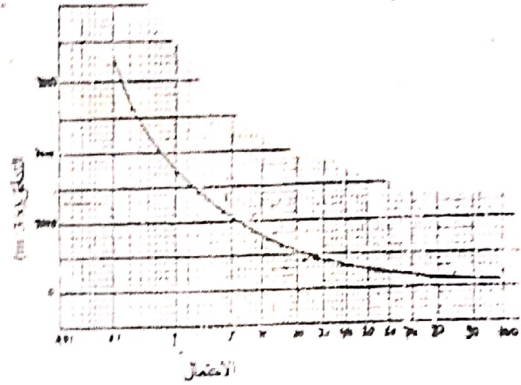
وتتوفر دراسات هيدرولوجية متعددة لوادي الكبير الشمالي أعدت أثناء دراسة سد 16 تشرين من قبل الخبراء الروس وبعض الأخصائيين السوريين تشمل وضع مخطط للحوض الساكب له يشتمل على مراكز مناخية لقياس الهطول ودرجات الحرارة والرطوبة وغيرها من المتحولات (الشكل (2)) ولقد استخدمت القياسات المطرية هذه لاستنتاج التدفقات المارة في النهر في موقع السد من قبل الأخصائيين الروس الذين درسوا السد وأشرفوا على تنفيذه واستنبطوا التدفقات العظمى المارة عبر العواصف المطرية العظمى المتوقعة ولا توجد سوى بعض المراقبات الفردية القليلة للتدفق المار بالمجرى في هذه المنطقة ولا تكفي هذه المراقبات القليلة للتكهن بقيمة التدفقات العظمى المحتمل مرورها في المجرى حيث يجب أن يتوفر لدينا مراقبات دقيقة للمتحولات الهيدرولوجية لثلاث مدة التكهن بمعنى آخر للتكهن بقيمة التدفق المحتمل مروره بـ (100 عام) يلزمنا

مراقبات دقيقة لمدة (33 عام) على الأقل وهذا ما نفتقده في نهر الكبير الشمالي والأنهار الساحلية الأخرى. واعتماداً على الدراسات الهيدرولوجية تم وضع مخطط للتدفقات المحتمل مرورها في مجرى الكبير الشمالي عند جسر خان عطا الله (انظر الشكل (1) أسفل منطقة الدراسة) الشكل (3) .

كما تم وضع تصور لمرور أمواج فيضان ألفية ومئوية وعشرية. استناداً لهذه الأمواج تم وضع مسار لموجة فيضان ألفية مستتبطة تبعاً للفيضان المسجل خلال الفترة 12-15.3.1976م كما يوضح الشكل (4)

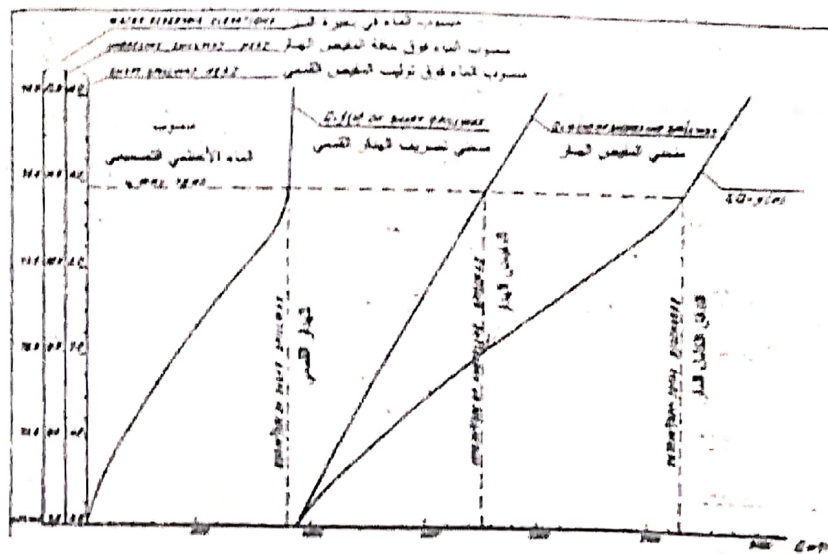


الشكل (4): موجة الفيضان الألفية المستتبطة تبعاً للفيضان المسجل خلال الفترة بين 12-15.3.1976 عند جسر خان عطاالله حسب المذكرة الحسابية لسد 16 تشرين.



الشكل (3): التدفقات المحتملة لنهر الكبير الشمالي عند جسر خان عطا الله حسب المذكرة الحسابية لسد 16 تشرين.

وقد استخدمت هذه المعطيات لتصميم سد 16 تشرين وصممت مفيضاته اعتماداً على التدفق الألفي على اعتباره 2700 م³/ثا بعد امتصاص قمة هذه الموجة بفعل البحيرة وقدرتها التخزينية ولذلك صمم المفيض القمعي الذي تقع حافته على المنسوب 74.5 متر فوق سطح البحر ليمر تدفقاً مقداره 900 م³/ثا عند المنسوب 78.40 متر فوق سطح البحر حسب المنحني المبين بالشكل (5).

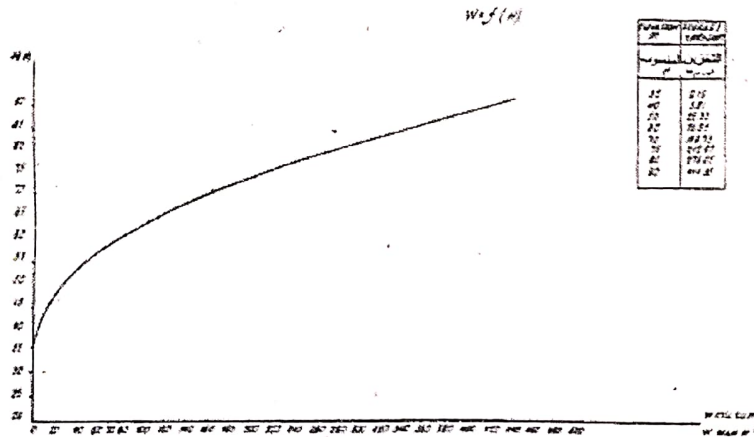


الشكل (5): منحني تصريف المفيض القمعي والمفيض الهدار لسد 16 تشرين حسب المذكرة الحسابية لسد 16 تشرين.

بينما صمم الفيض الهدار بثلاث بوابات تقع قاعدتها على المنسوب 67 متر فوق سطح البحر وتستطيع كلاً منها إمرار 600 م³/ثا تقريباً عند المنسوب 78,40 حسب منحنى التصريف المبين بالشكل (5) وهذه التدفقات المحتملة يجب أن تمر في المجرى أسفل السد دون إلحاق الضرر بالسد ومجرى النهر ودون غمر المنشآت المتوضعة على المجرى. بعد الاطلاع على واقع المجرى من كل النواحي يمكننا الانطلاق إلى وضع تصور لظروف الجريان في مجرى النهر عند موجات الفيضان الأعظمية ومعرفة حدود الغمر لجوانب المجرى واحتمالات الجرف الممكن حدوثها للجوانب والقاع ومدى تأثيرها على المنشآت المتواجدة في المنطقة متبعين التسلسل التالي.

2- تحديد التدفق الأعظمي المحتمل مروره في المجرى

باعتبار أن سد 16 تشرين قائم يمكن أن تلعب بحيرته دوراً هاماً في التحكم بمقدار التدفق الذي يمكن السماح بمروره من مفيضات السد. وبالرجوع إلى المراجع العلمية المختصة لدراسة الجريان في المجاري المائية وتصحيح مساراتها تبعاً لهذه الدراسة يكفي أخذ التدفق المنوي المحتمل مروره بالأنهار المقام عليها سدود تخزينية كبيرة لتصحيح الجزء الواقع أسفل السد وهذا التدفق يعادل في نهر الكبير الشمالي (1800 م³/ثا) تبعاً للشكل (3) ولكن بالرجوع إلى الشكل (5) وإلى منحنى تخزين بحيرة السد (الشكل 6).



الشكل (6): حجم تخزين بحيرة سد 16 تشرين بالعلاقة مع منسوب الماء فيها حسب المذكرة الحسابية لسد 16 تشرين.

يمكننا تخفيض هذا التدفق إلى (1500 م³/ثا) وحساب الجريان في المجرى اعتماداً على هذا التدفق وبالرجوع إلى المنحنيين السابقين تمكنا من إعداد الجدول رقم (1) الذي يبين إمكانية التحكم بالتدفق المار بالنهر أسفل السد بالاستفادة من حجم تخزين بحيرة السد بحيث نستطيع تخزين جزء من مياه موجة الفيضان القادمة حسب منسوب الماء في البحيرة ومقدار موجة الفيضان القادمة يمكننا فتح البوابات بتسلسل معين وبالتالي التحكم بالتدفق المار بالنهر بحيث يكون مناسباً للمجرى. فبالإمكان وضع برنامج للتحكم بمياه الفيضان الجدول (1) .

تدفق إجمالي		يعادل تدفق مقداره m^3/sec خلال مدة معينة ومقدار التدفق القادم إلى السد						يعادل تدفق		يعادل تدفق		يعادل تدفق		يعادل تدفق		يعادل تدفق		يعادل تدفق		يعادل تدفق	
تدفق إجمالي	تدفق إجمالي	تدفق إجمالي	تدفق إجمالي	تدفق إجمالي	تدفق إجمالي	تدفق إجمالي	تدفق إجمالي	تدفق إجمالي	تدفق إجمالي	تدفق إجمالي	تدفق إجمالي	تدفق إجمالي	تدفق إجمالي	تدفق إجمالي	تدفق إجمالي	تدفق إجمالي	تدفق إجمالي	تدفق إجمالي	تدفق إجمالي	تدفق إجمالي	تدفق إجمالي
m^3/sec	m^3/sec	m^3/sec	m^3/sec	m^3/sec	m^3/sec	m^3/sec	m^3/sec	m^3/sec	m^3/sec	m^3/sec	m^3/sec	m^3/sec	m^3/sec	m^3/sec	m^3/sec	m^3/sec	m^3/sec	m^3/sec	m^3/sec	m^3/sec	m^3/sec
873.26	873.26	873.26	1397.22	1397.22	1397.22	2328.70	2328.70	2328.70	2328.70	2328.70	2328.70	2328.70	2328.70	2328.70	2328.70	2328.70	2328.70	2328.70	2328.70	2328.70	2328.70
826.25	551.25	1175	882	882	1745	1745	1745	1745	1745	1745	1745	1745	1745	1745	1745	1745	1745	1745	1745	1745	1745
1816.56	321.6	2009.5	514.5	514.5	2352.5	2352.5	2352.5	2352.5	2352.5	2352.5	2352.5	2352.5	2352.5	2352.5	2352.5	2352.5	2352.5	2352.5	2352.5	2352.5	2352.5
1939.72	206.718	2063.75	330.75	330.75	2284.25	2284.25	2284.25	2284.25	2284.25	2284.25	2284.25	2284.25	2284.25	2284.25	2284.25	2284.25	2284.25	2284.25	2284.25	2284.25	2284.25
2591.87	91.87	2647	147	147	2745	2745	2745	2745	2745	2745	2745	2745	2745	2745	2745	2745	2745	2745	2745	2745	2745
		الاستفادة من ارتفاع أمان السد																			
		الاستفادة من ارتفاع أمان السد																			
873.26	873.26	1397.22	1397.22	1397.22	2328.70	2328.70	2328.70	2328.70	2328.70	2328.70	2328.70	2328.70	2328.70	2328.70	2328.70	2328.70	2328.70	2328.70	2328.70	2328.70	2328.70
826.25	551.25	1175	882	882	1745	1745	1745	1745	1745	1745	1745	1745	1745	1745	1745	1745	1745	1745	1745	1745	1745
1816.56	321.6	2009.5	514.5	514.5	2352.5	2352.5	2352.5	2352.5	2352.5	2352.5	2352.5	2352.5	2352.5	2352.5	2352.5	2352.5	2352.5	2352.5	2352.5	2352.5	2352.5
1939.72	206.718	2063.75	330.75	330.75	2284.25	2284.25	2284.25	2284.25	2284.25	2284.25	2284.25	2284.25	2284.25	2284.25	2284.25	2284.25	2284.25	2284.25	2284.25	2284.25	2284.25
2591.87	91.87	2647	147	147	2745	2745	2745	2745	2745	2745	2745	2745	2745	2745	2745	2745	2745	2745	2745	2745	2745
		الاستفادة من ارتفاع أمان السد																			
		الاستفادة من ارتفاع أمان السد																			
873.26	873.26	1397.22	1397.22	1397.22	2328.70	2328.70	2328.70	2328.70	2328.70	2328.70	2328.70	2328.70	2328.70	2328.70	2328.70	2328.70	2328.70	2328.70	2328.70	2328.70	2328.70
826.25	551.25	1175	882	882	1745	1745	1745	1745	1745	1745	1745	1745	1745	1745	1745	1745	1745	1745	1745	1745	1745
1816.56	321.6	2009.5	514.5	514.5	2352.5	2352.5	2352.5	2352.5	2352.5	2352.5	2352.5	2352.5	2352.5	2352.5	2352.5	2352.5	2352.5	2352.5	2352.5	2352.5	2352.5
1939.72	206.718	2063.75	330.75	330.75	2284.25	2284.25	2284.25	2284.25	2284.25	2284.25	2284.25	2284.25	2284.25	2284.25	2284.25	2284.25	2284.25	2284.25	2284.25	2284.25	2284.25
2591.87	91.87	2647	147	147	2745	2745	2745	2745	2745	2745	2745	2745	2745	2745	2745	2745	2745	2745	2745	2745	2745
		الاستفادة من ارتفاع أمان السد																			
		الاستفادة من ارتفاع أمان السد																			
873.26	873.26	1397.22	1397.22	1397.22	2328.70	2328.70	2328.70	2328.70	2328.70	2328.70	2328.70	2328.70	2328.70	2328.70	2328.70	2328.70	2328.70	2328.70	2328.70	2328.70	2328.70
826.25	551.25	1175	882	882	1745	1745	1745	1745	1745	1745	1745	1745	1745	1745	1745	1745	1745	1745	1745	1745	1745
1816.56	321.6	2009.5	514.5	514.5	2352.5	2352.5	2352.5	2352.5	2352.5	2352.5	2352.5	2352.5	2352.5	2352.5	2352.5	2352.5	2352.5	2352.5	2352.5	2352.5	2352.5
1939.72	206.718	2063.75	330.75	330.75	2284.25	2284.25	2284.25	2284.25	2284.25	2284.25	2284.25	2284.25	2284.25	2284.25	2284.25	2284.25	2284.25	2284.25	2284.25	2284.25	2284.25
2591.87	91.87	2647	147	147	2745	2745	2745	2745	2745	2745	2745	2745	2745	2745	2745	2745	2745	2745	2745	2745	2745
		الاستفادة من ارتفاع أمان السد																			
		الاستفادة من ارتفاع أمان السد																			

الجدول رقم (1) : جدول تنظيم التدفق في نهر الكبير الشمالي أسفل سد 16 تشرين بالعلاقة مع موجات الفيضان القادمة.

وبافتراض أسوأ الحالات وهي إمرار (2670 م³/ثا) يمكن حساب الجريان في المجرى ومعرفة ظروف الجريان عنده لكن هذا الاحتمال يبقى ضعيفاً جداً ومع ذلك قلنا بحسابه إلى جانب التدفق (1500 م³/ثا) ومن الواضح أنه يمكن الاستفادة من تخزين البحيرة بشكل كبير لتخفيض التدفق المار في المجرى أسفل السد فعلى سبيل المثال عند المنسوب (77) يمرر السد تدفقاً مقداره (1495 م³/ثا) ويمكن أن تستوعب البحيرة تدفقاً قادمًا للسد مقداره (857.5 م³/ثا) فوق ذلك التدفق لمدة (6) ساعات أي تدفقاً إجمالياً مقداره (2352.5 م³/ثا) لمدة (6) ساعات دون زيادة التدفق المار في المجرى أسفل السد أو تدفقاً قادمًا مقداره (514.5 م³/ثا) فوق التدفق (1495 م³/ثا) أي بتدفق إجمالي قادم مقداره 2009.5 م³/ثا لمدة عشر ساعات وهكذا لذا يمكننا أخذ التدفق (1500 م³/ثا) ونحسب عليه المجرى بكل أمان وعند مرور موجة أكبر يمكننا تخزينها في السد لفترة زمنية معينة حسب قيمتها.

3- تحديد خشونة المجرى ومعامل مانينغ

تم تحديد خشونة المجرى اعتماداً على التحليل الحبي للعينات التي أخذت من مواقع مختلفة من المجرى تمثل خشونة النهر الحقيقية بشكل جيد. أخذت هذه العينات من النقطة (PKT2, Km 0.128) الواقعة بالقرب من نهاية حوض التهذئة ومن النقطة (PKT9, Km 1.327) القريبة من محطة ضخ مياه الصنفاص ومن النقطة (PKT88, Km 2.097) المجاورة للطرف العلوي للجسر العلوي ومن كل موقع تم أخذ عينة من يسار المجرى وأخرى من يمينه وأخذت هذه العينات بعناية فائقة من قبل المؤلف من عمق مقبول ووزن يحقق الشروط وتم تحليل هذه العينات الست في مخبر مديرية الري العامة لحوض الساحل. ومثلت نتائج التحليل في منحنيات (الشكل 7). واعتماداً على هذه المنحنيات تم تحديد معامل الخشونة لمانينغ حسب علاقة Mueller .

$$M = \frac{1}{n} = \frac{26}{(d90)^{\frac{1}{6}}} \quad (m^{\frac{1}{3}}/sec) \quad (1)$$

حيث :

d90 هو القطر الذي يمرر 90% من حبات العينة.

أعطت العلاقة (1) القيم التالية لمعامل مانينغ :

d90 = 100 mm	→	M=38 m ^{1/3} /sec	PKT2	في الموقع الأول
d90 = 100 mm	→	M=38 m ^{1/3} /sec	PKT9	في الموقع الثاني
d90 = 85 mm	→	M=39 m ^{1/3} /sec	PKT88	في الموقع الثالث

وتعتبر هذه القيم مقبولة كونها في مجال خشونة الأنهار الطبيعية وتجدر الملاحظة أنه تم الحصول

على قيم قريبة جداً من علاقة شتركلر التالية :

$$M = \frac{21.1}{(dm)^{\frac{1}{6}}} \quad (m^{\frac{1}{3}}/sec) \quad (2)$$

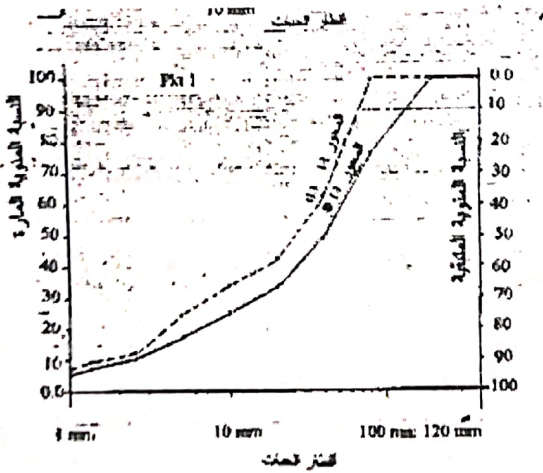
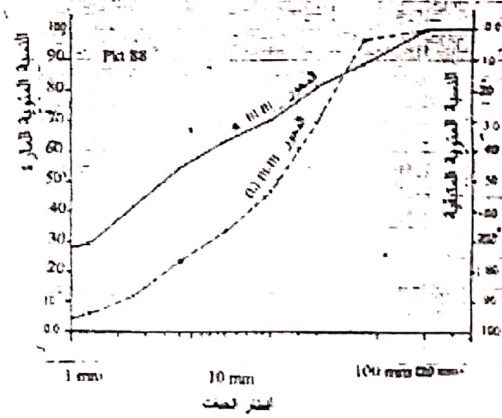
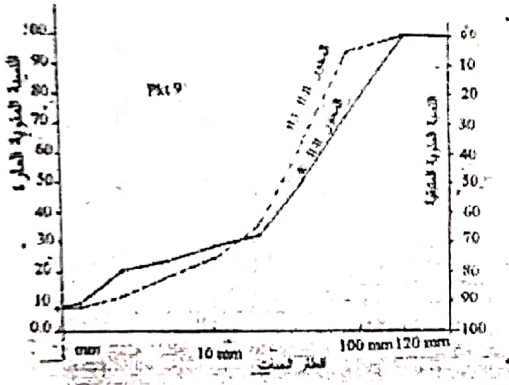
حيث :

dm هو القطر الوسطي الفعال للعينة وأخذنا (dm = d50) بشكل تقريبي عندها حصلنا على

القيم التالية:

dm = 32 mm	→	M=37.447=38 m ^{1/3} /sec	PKT2	في الموقع الأول
dm = 33 mm	→	M=37.25=38 m ^{1/3} /sec	PKT9	في الموقع الثاني
dm = 14 mm	→	M=42.97=43 m ^{1/3} /sec	PKT88	في الموقع الثالث

تمثل قيمة معامل مانينغ في الموقع الثالث انحرافاً كبيراً كوننا أخذنا القيمة dm = d50 ولو أخذنا قيمة dm = d60 لحصلنا على قيمة أقل M= 40 m^{1/3}/sec حيث أن اختيار dm يجب أن يتم بعناية بحيث يمثل نسب أقطار الحبات بدقة ولذلك نكتفي بأخذ القيمة حسب Mueller كونها الأدق.



الشكل (7): منحنيات التحليل الحبي للعينات المأخوذة من مجرى الكبير الشمالي بمنطقة الدراسة في أيار

1997

4- النموذج الرياضي :

بعد إحضار جميع المعلومات الطبوغرافية والمقاطع الهندسية العرضية ومعرفة معامل مانينغ للجريان يمكن البدء بحساب الجريان في المجرى الطبيعي باستخدام الطرق المعروفة لحساب الجريان غير المستقر في

المجري المائية كالطرق المميزة أو الطرق التفاضلية التي تعتمد على معادلتى SIANT-VENANT المشهورة معادلة الاستمرار:

$$\frac{\partial Q}{\partial x} + \frac{\partial A}{\partial t} = 0 \quad (3)$$

ومعادلة الحركة :

$$\frac{\partial V}{\partial t} + V \cdot \frac{\partial V}{\partial x} + g \cdot \frac{\partial h}{\partial x} = -g \cdot \frac{V \cdot |V|}{M^2 R^{4/3}} \quad (4)$$

A : مساحة الجريان (m²)

Q : التدفق المار (m³/s)

M : معامل مانينغ للجريان (m^{1/3}/s)

R : نصف القطر الهيدروليكي R = A/u (m)

u : المحيط المبلول (m)

h : عمق الجريان (m)

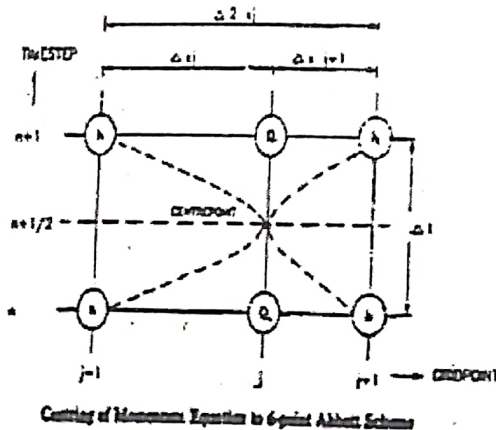
x : المسافة مع جهة الجريان (m)

t : الزمن (sec)

g : تسارع الجاذبية الأرضية (m/s²)

V = Q/A : سرعة الجريان (m/s)

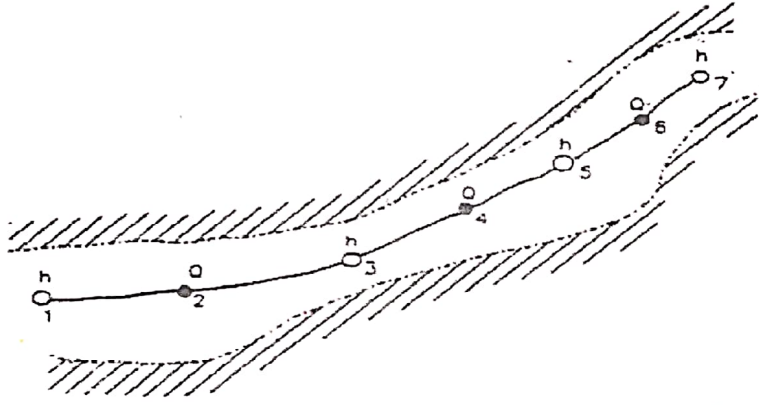
ولحل هاتين المعادلتين تم الاستعانة بالبرنامج MIKE11 المطور من معهد الهيدروليك السدانمكري والذي وضع تحت تصرف المؤلف في معهد الهيدروليك والمنشآت المائية بجامعة دريسدن التقنية بألمانيا أثناء وجوده بمهمة علمية في الربع الأخير من عام 1997. يعتمد هذا البرنامج الطريقة التفاضلية المحدودة المتضمنة (implicit) والتي تركز على مخطط Abott الموضح بالشكل (8).



الشكل (8) : توضيح لمخطط Abott حسب دليل استخدام البرنامج MIKE11.

وهذه الطريقة مثل بقية الطرق تفترض الشروط التالية لتطبيق المعادلات (3) و (4)

- ميل القاع وميل منسوب الماء صغيرين ومتساويين.
 - طول الأمواج المتولدة أكبر بكثير من عمق الجريان والجريان متخامد وهذا يعني أن منحنيات المجرى المائي بسيطة.
 - توزيع هيدروستاتيكي للضغط.
 - السرعات والتسارعات في الجهة الشاقولية يمكن تجاهلها (جريان وحيد الاتجاه باتجاه X).
 - يؤخذ معامل الاحتكاك كما في معادلة الجريان المستقر لمانيغ.
 - قاع المجرى ثابت مع الزمن وكثافة الماء ثابتة.
- نلاحظ من الشكل (8) أن شبكة الحساب تتكون من نقاط (Q) و (h) تبادلية هذا يعني أننا نستطيع حساب هذه المتحولات أيضاً لزمان (t + Δt) أي لخطوة (n + 1) من تلك المتحولات (h و Q) للزمان t ويمكن تمثيلها في المجرى المائي بالشكل (9).



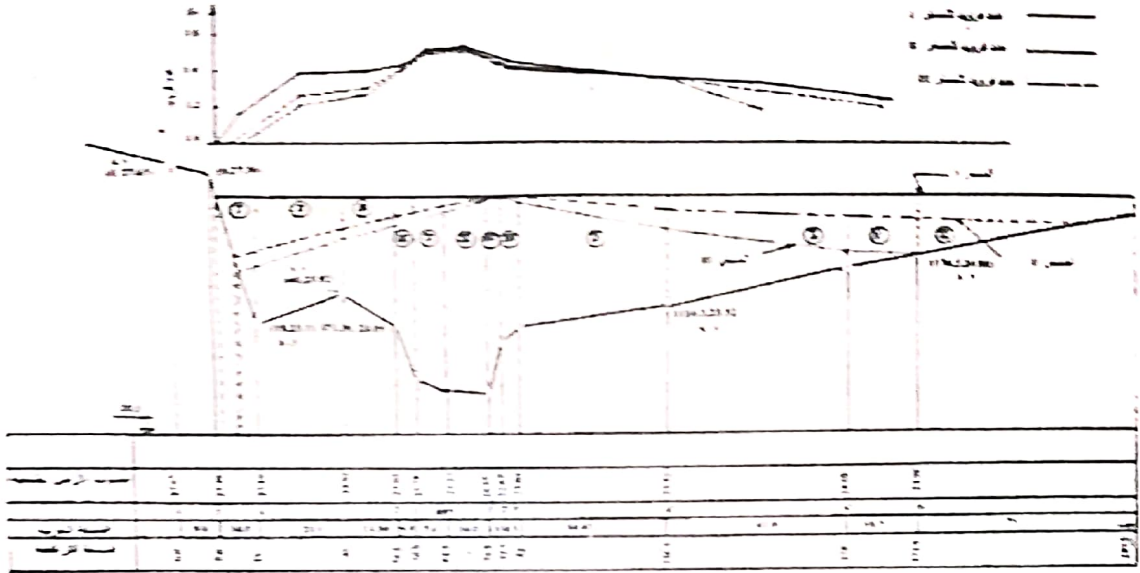
الشكل (9): شبكة الحساب مع النقاط التبادلية لـ (Q) و (h) في مجرى مائي حسب دليل استخدام البرنامج

.MIKE11

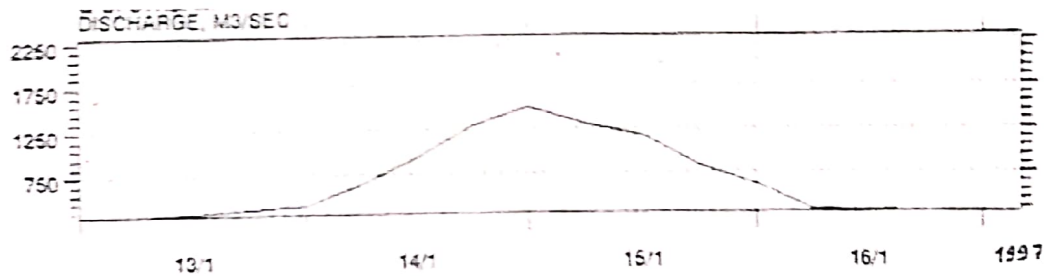
ويطلب البرنامج MIKE11 المعلومات التالية للبدء بالحساب:

- المعلومات الكافية عن المقاطع العرضية للمجرى المائي بإحداثيات (X , Y) حيث (X) بعد نقطة المقطع عن مبدأ الإحداثيات للمقطع (انظر الشكل 10) و y ارتفاع النقطة عن المنسوب المختار وهكذا لكل نقاط المقطع العرضي وكذلك لجميع المقاطع العرضية وفي مثالنا هنا (38) مقطعاً، وتخزن في ملف تحت اسم معين.
 - المعلومات الكافية عن معامل الخسونة للمقاطع (M) وتخزن تحت اسم معين.
 - المعلومات الكافية عن الموقع الطبوغرافي للمقاطع ومن ثم ربط هذه المقاطع مع بعضها البعض وإعطاء خطوة المسافة dx وتخزن أيضاً بملف معين.
- وكما هو الحال في جميع طرق حساب الجريان غير المستقر. يجب أن تعطى الشروط الطرفية في بداية المجرى المختار وكذلك في نهايته. ففي بداية المنطقة عند الـ Km0,0 تم اعتبار موجة فيضان مشابهة للموجودة في الشكل (4) ولكن باختصار التدفق إلى القيمة الأعظمية $1500\text{m}^3/\text{S}$ والشكل (11) يوضح

هذا الشرط الطرفي وهذا الشرط هو من النوع التنفق المار بدلالة زمن مرور العوجة $Q=f(t)$. كما يوضح الشكل (12) الشرط الطرفي اليساري لموجة فيضان $2700 \text{ m}^3/\text{S}$ وهو من نفس النوع.



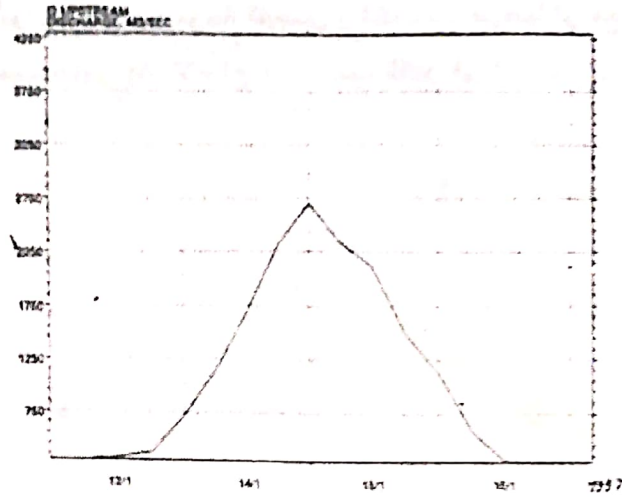
الشكل(10): المقطع العرضي عند الموقع km2.039 وحساب عدد فرويد حسب مسارات مختلفة لمنسوب الماء.



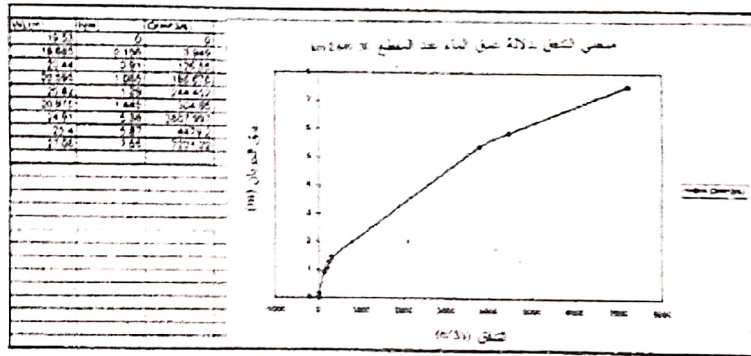
الشكل(11): موجة الفيضان المستقاة والمطبقة كشرط طرفي علوي (يساري) لموجة $1500 \text{ m}^3/\text{S}$

أما الشرط الطرفي اليميني عند الـ 2.649 Km أي عند المقطع رقم (38). فهو عبارة عن علاقة التدفق المار مع عمق الجريان h في المقطع $Q=f(h)$ حيث المقطع معلوم ويتم حساب التدفق بموجب هذا العمق h ومن ثم تدخل هذه القيم كشرط طرفي (الشكل 13).

بعد إدخال هذه المعلومات كافة يقوم البرنامج بحساب الجريان في المجرى ويسجلها تحت اسم يختاره المستمر بعد ذلك يستطيع المرء الحصول على منسوب الماء في كامل المجرى عند أية لحظة يريدونها وكذلك التدفق المار ومنسوب الماء في أي مقطع بدلالة الزمن. كما ويمكن الحصول على أصغر وأكبر منسوب للماء وللتدفق المار في أي مقطع.



الشكل (12): موجة الفيضان المستقاة والمطبقة كشرط طرفي يساري لموجة فيضان $2700\text{m}^3/\text{S}$



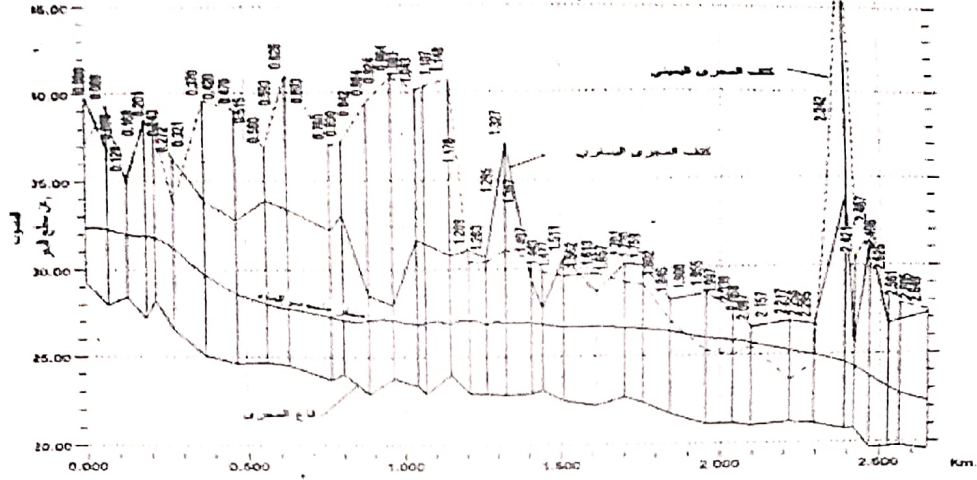
(الشكل 13) : الشرط الطرفي اليميني عند المقطع (38) $Q=f(h)$.

5- حساب الجريان لموجة فيضان من مرتبة ($1500\text{ m}^3/\text{sec}$)

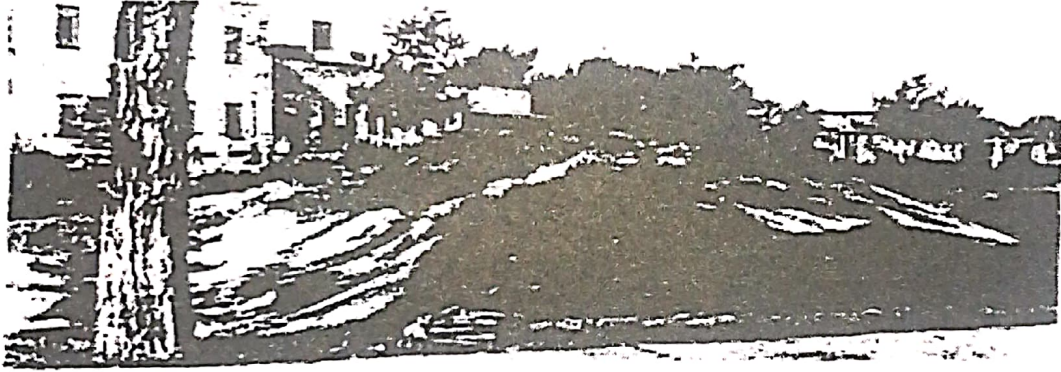
يعطي (الشكل 14) مقطعاً طولياً في المجرى الطبيعي حسب أعماق نقاط مقاطعه الـ (38) ومسار كتفي النهر الأيمن والأيسر الطبيعيين ومسار منسوب الماء المحسوب بعد (45 دقيقة) من مرور قمة الفيضان من بداية المجرى وهو أعلى مستوى تصله المياه في المجرى ويلاحظ من هذا الشكل ظهور أمواج واقفة (Undular jump) مبتدئة من النقطة (Km 1.043) تصل في تأثيرها المباشر حتى النقطة (km 1.447) وأبعد من ذلك بتأثيرها غير المباشر.

يبين (الشكل 15) صورة لإحدى هذه الأمواج مأخوذة عند (Cherry Creek , Denver , Colorado) ، الولايات المتحدة وهي توضح نشوء الأمواج الشديدة والارتفاع الملحوظ في وسط النهر.

وتشكلت هذه الأمواج مع صعود موجة الفيضان واشتدت مع هبوطها أي مع هبوط قيمة التدفق المار في المجرى ويرجع سبب ظهور هذه الأمواج إلى التحذب الكبير في قاع المجرى قبل هذا الموقع وعنده



الشكل (14): مسار منسوب الماء في المجرى الطبيعي بعد مرور 45 دقيقة من قمة موجة الفيضان $1500 \text{ m}^3/\text{sec}$



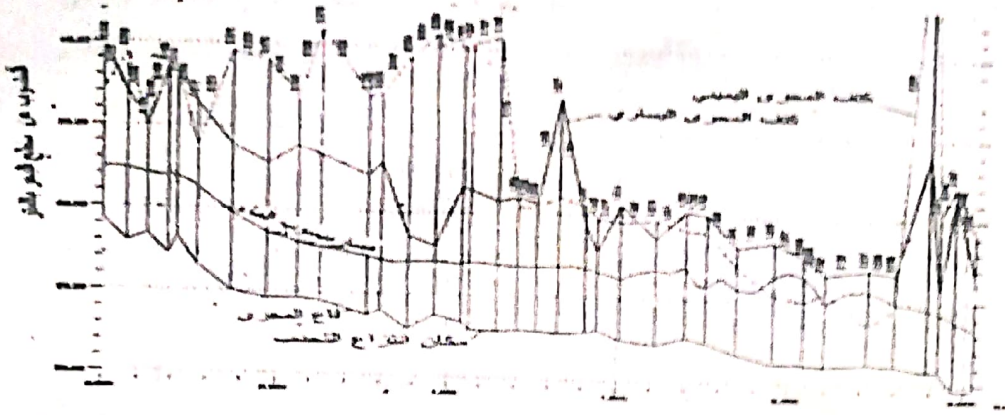
الشكل (15): الموجة الواقعة عند Cherry Creek, Denver, Colorado (الولايات المتحدة) عند تدفق $453 \text{ m}^3/\text{sec}$ مأخوذة من الجهة العليا للجريان حسب / Reinauer 1996 .
والمجرى المعقد للنهر قبل هذا الموقع الناجم عن التغيرات التي وقعت عليه (انظر الشكل 1) ولاتساع

$$F_r = \frac{V}{\sqrt{gh}}$$

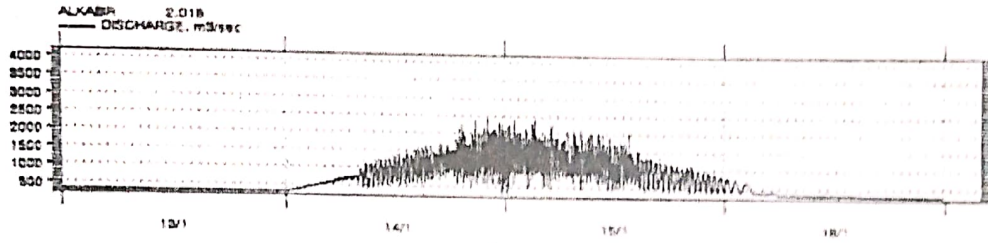
المجرى المفاجئ ، كل هذه الأسباب أدت إلى وقوع عدد فرويد

حيث :

g : التسارع الأرضي (m/sec^2) ، h : عمق الجريان (m) ، V : سرعة الجريان في المقطع (m/sec)

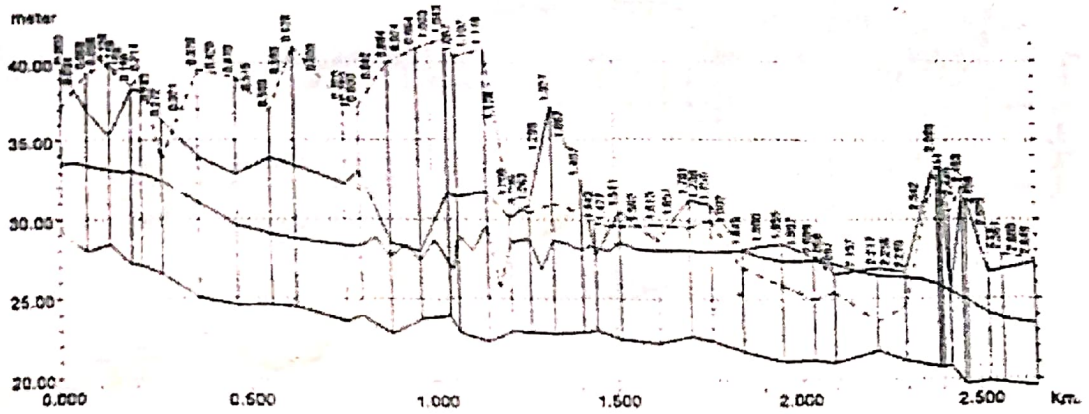


الشكل (16): مسار منسوب الماء في المجرى الطبيعي بعد مرور 20 دقيقة من قمة الفيضان
 (1500 m³/sec) بعد انتزاع التحذب عند الموقع Km 1.148



الشكل (17): التدفق المار في النهر والتأرجح الكبير له عند موجة الفيضان 1500 m³/sec وفي الموقع Km 2.018 بين القيمة (1.2 - 1.6) مجال ظهور هذه الأمواج (Reinauer 1996) ولكي نتأكد من هذه الحقيقة قمنا بانتزاع التحذب في الموقع Km 1.148 (الشكل 16) وأعدنا الحساب وبين الشكل (16) أن الأمواج الواقعة اختفت تقريباً من الموقع السابق وانقلبت للظهور بعد التحذب الكبير نوعاً ما في الموقع (km 1.73) وبلغت أشدها عند الموقع (km 2.039) وتظهر هذه نظراً للتضايق الكبير في المجرى وزيادة ميل القاع (الشكل 1). ولدى البحث والتدقيق في تحليل ظهورها قمنا باختيار الموقع (km 2.039) حيث يتوفر لدينا التدفق الأعظمي المار وعمق الماء في المقطع وتم اختيار عدة توضعات لمنسوب الماء في المقطع المذكور (الشكل 10). ولدى حساب عدد فرويد في أجزاء المقطع حسب التقسيم الطبوغرافي له من علاقة مانينغ وباستخدام ميل خط الطاقة المساوي لميل منسوب الماء بدلاً من ميل القاع في هذا الموقع حصلنا على القيم الواقعة ضمن حدود ظهور الأمواج الواقعة وتم حساب ميل خط الطاقة من (الشكل 16) من المقطعين (km 2.039) و (km 1.997) بالشكل التالي :

$$I_e = \frac{\text{الطول} / \text{فرق المنسوب}}{(2039-1997)} = \frac{(26.8-26.30)}{(2039-1997)} = 0.009047$$



الشكل (18): مسار منسوب الماء في المجرى الطبيعي بعد 20 دقيقة من مرور قمة الفيضان لموجة $2700 \text{ m}^3/\text{sec}$

وبعد حساب عدد فرويد لثلاث مسارات مبيّنة في (الشكل 10) حصلنا على قيمة عدد فرويد في كل

قسم على الشكل التالي :

جدول رقم (2) عدد فرويد في المقطع 2.039 km وفق المسارات I,II,III

رقم الجزء	1	2	3	4	5	6	7	8	9	10	11	12
عدد فرويد للمسار I	1.16	1.39	1.40	1.44	1.47	1.53	1.32	1.43	1.40	1.33	1.25	1.12
عدد فرويد للمسار II	0.34	1.27	1.30	1.41	1.51	1.52	1.32	1.43	1.40	1.29	1.20	0.21
عدد فرويد للمسار III	0.16	1.22	1.27	1.40	1.51	1.51	1.32	1.43	1.37	1.19	0.84	0

يتبين من هذا الجدول أن قيم عدد فرويد تقع ضمن المجال (1.6 - 1.2) في جميع الأجزاء تقريباً ولكن تبين لنا أن قيم التدفق المار في المقطع تتناقض إلى حد كبير مع قيم التدفق المسجلة بالحساب والقريبة من $2500 \text{ m}^3/\text{sec}$ فقد بلغت تبعاً للمسار I $4291.43 \text{ m}^3/\text{sec}$ وللمسار II $3353.26 \text{ m}^3/\text{sec}$ وللمسار III $2642.17 \text{ m}^3/\text{sec}$ وهذه القيمة قريبة من القيمة الحسابية لذلك يقترب هذا المسار بتقديرنا من واقع الموجة الواقفة. حيث أن المسار III يحاكي صورة الموجة الموضحة بـ (الشكل 15) ولمعرفة المسار الفعلي للموجة الواقفة يحتاج المرء لدراسة دقيقة باهظة التكاليف حيث يحتاج إلى نموذج مخبري. ولقد اكتفينا بهذه الدراسة البسيطة لتعليل سبب ظهور هذه الأمواج والتأكد من كون الأمواج التي ظهرت هي من هذا النوع وليست اضطرابات ضمن البرنامج وللدلالة على أن ظهورها يؤدي إلى حدوث عمليات جرف كبيرة للقاع والجوانب نظراً لسرعة الماء الكبيرة في موقعها مما يستدعي تجنب ظهورها في أي موقع من المجاري المائية. كما ويظهر تأرجح كبير لمنسوب الماء وبالتالي التدفق المار يزداد حتى تصل قيمته العظمى مع وصول التدفق إلى قيمته العظمى (الشكل 17) ويؤدي هذا التأرجح وعدم الاستقرار إلى جرف كبير للقاع والجوانب وغمر جوانب المجرى.

ولقد أعنا الحساب بإدخال تأثير أعمدة الجسور ولموجة فيضان من مرتبة $2700 \text{ m}^3/\text{sec}$ وهي التدفق الأعظمي الذي تمرره مفيضات السد. يبين (الشكل 18) مسار منسوب الماء في النهر الطبيعي بعد 20 دقيقة من مرور قمة الفيضان ويمثل هذا المسار أعلى منسوب للماء في مجرى النهر. ويلاحظ وجود جيشان كبير للماء المتمثل بأموج واقفة من مرتبة كبيرة تصل في تارجحها حتى أربعة أمتار هبوطاً وصعوداً كما يظهر هذا الشكل ضرورة القيام بتصحيح المجرى في منطقة ظهورها لتجنب عمليات الجرف الكبيرة المتوقعة ولتجنب الغمر الذي سيصيب الأراضي الزراعية والمنشآت المجاورة للمجرى وغمر لطريق حلب اللاذقية كما هو ظاهر من مسار منسوب الماء.

واعتماداً على الأشكال (14-16-18) قمنا برسم منحنيات تساوي منسوب الماء على الشكل (1) لموجة ($1500 \text{ m}^3/\text{sec}$) انظر (الشكل 1) ولموجة عظمى ($2700 \text{ m}^3/\text{sec}$) وكما يظهر هذا الشكل توجد مناطق غمر كبيرة في موجة ($1500 \text{ m}^3/\text{sec}$) في الجزء السفلي وعلى الجانب الأيمن ومنطقة أكبر بكثير في موجة ($2700 \text{ m}^3/\text{sec}$) لأغلب منطقة الدراسة وسوف تغمر مجموعات ضخ مياه الصفصاف وتقترب المياه من قناة الري وتغمر الأراضي الزراعية حتى طريق السد المعبدة على الكنف الأيمن للنهر وحتى طريق حلب اللاذقية وسوف تشكل المياه تهديداً كبيراً للجسور عن طريق نحر قواعدها وسوف تحدث كميات جرف كبيرة في مقاطع المجرى كافة.

ولدى حساب كمية المواد المجروفة قرب المقطع (2) بعد المفيض قدرت قيمة المواد المجروفة — (12968.18 ton) للموجة $1500 \text{ m}^3/\text{sec}$ و (28724.25 ton) خلال الموجة ($2700 \text{ m}^3/\text{sec}$) في حين بلغت كمية المواد المجروفة عند الطرف العلوي للجسر العلوي (690257.916 ton) خلال الموجة ($1500 \text{ m}^3/\text{sec}$) و (1023371.066 ton) للموجة العظمى ($2700 \text{ m}^3/\text{sec}$).

تعتبر هذه الكميات كبيرة جداً وخصوصاً أنها أخذت لموجة فيضان طويلة الأجل (96 hour). لذلك يجب تغادي غمر المنشآت المنتشرة في المنقطة وكميات الجرف الكبيرة هذه عبر تنظيم المجرى وتصحيح مساره عبر تصغير ميول القاع أو إكساء المناطق كبيرة الجرف بصخور وحجارة تمنع الجروف أو توسيع المجرى في المناطق الضيقة أو عبر انشاء حواجز في المناطق ذات الميول الكبيرة وهذا ما يتم تبيانها وشرحه في مقال لاحق .

6- استنتاجات و لتوصيات

تبين لنا الدراسة السابقة ضرورة القيام بحساب الجريان في المجرى الطبيعي لمعرفة ظروف هذا الجريان في مختلف مقاطع المجرى لكي يتنى لنا معرفة أماكن الغمر وأمكنة حدوث الجروف الكبيرة وبالتالي الأمكنة التي يلزمها توسيع في المجرى وتلك التي تحتاج لحواجز فيضان فيها لمنع الغمر وتلك الواجب تكسينها وهذا واضح وجلي من نمذجة الجريان في المنطقة السابقة بحيث عرفنا بدقة متناهية أماكن الغمر الممكنة على طول المجرى وهذه المنطقة تم غمر الجزء الأكبر منها في فيضان عام 1976 م. وبيننا التغيرات الكبيرة التي حدثت على المجرى بفعل أعمال إنشاء السد واعتداءات المزارعين وانتزاع المواد من قاعه لأغراض مواد البناء التي كان لها الأثر الكبير على خلخلة استقرار المجرى. كما بينت الخطر الكبير المحقق بقواعد الجسور نتيجة الجرف الكبير المتوقع ويمكن ملاحظة الجرف الكبير على قواعده حالياً على الرغم من أن التدفق لم يتجاوز ال ($50 \text{ m}^3/\text{sec}$) طيلة الخمس عشرة سنة الماضية (مدة استثمار السد) إلا لفترات قصيرة جداً وبينت

أيضا اقتراب الماء من قناة الري (الشكل 1) حيث سيعمل على تهديد أمانها كونها واقعة بالردم وكذلك غمر مجموعات ضخ الصفصاف وبالتالي يمكننا القول أن تنظيم المجرى ضروري جدا في هذه المنطقة ويكون أجدى في المناطق الأخرى حتى المصب حيث سيكون الغمر والخسائر كبيرة جدا للمنشآت الخاصة والعامة على طول مجراه.

References

المراجع

- 1- Bogardi, J.: Bestimmung der Grenzzustände bei der Geschiebebewegung, Wasserwirtschaft 58(1968), S. 205-212.
- 2- Bogardi, J.: Zeitgemässe Konzentrationen fuer die Untersuchung der Feststofffruegung der Gewaesser, Oestereiche Wasserwirtschaft, Jahrgang 18, Heft 7/8, S. 160-172.
- 3- Bollrich, G.; Preissler, G.: Technische Hydromechanik, Bd. 1, Verlag fuer Bauwesen Berlin Muenchen, 3 Auflage 1992, S. 456.
- 4- Bollrich, G. und Autorenkollektiv: Technische Hydromechanik, Bd. 2, VEB Verlag fuer Bauwesen Berlin, 1989, S. 680.
- 5- Dittrich, A.; Hammann de Salazar, K.; Hartmann, G.; Soyeaux, R.: Widerstandsverhalten geradliniger gegliederter Gerinne, Wasserwirtschaft 86(1996)10, S. 502-506.
- 6- Mertens, W.: Zur Frage hydraulischer Berechnungen naturnaher Fliessgewaesser Wasserwirtschaft 79(1989)4, S. 170-179
- 7- Mertens, W.: Sedimentlogische Aspekte beim naturnahen Gewaesserausbau. Wasserwirtschaft 80(1990)4.
- 8- Reinauer, R. Ondulierende Wasserspruege-Abflusstypen und Bemessung, Wasserwirtschaft 86(1996)10, S. 522-526.
- 9- Stiehler, R.: Erosionsbeginn von Steinschuetten als Schutzschicht in Wasserlaeuften. WWT 86(1969)3, S. 98-100
- 10- Zanke, U.: Grundlagen der Sedimentbewegung, Springer-Verlag, 1982, S. 402.
- 11- المذكرة الحسابية لعدد 16 تشرين (أرشيف مديرية الري العامة لحوض الساحل)